

# 地塞米松磷酸钠脂质体经兔结肠粘膜的体外 Ussing chamber 渗透研究

李国锋 袁建海 杨静 郭丹 非 崔春霞 候连兵 第一军医大学南方医院药学部 广州 510515

**摘要** 目的 观测并评价载药脂质体经结肠粘膜渗透的特点。方法 制备地塞米松磷酸钠脂质体，采用体外 Ussing chamber 实验法考察 DSP 经时经兔结肠粘膜的累积透过量及在粘膜内的分布量。结果 和 DSP 溶液比较，DSP 脂质体能延缓和减少 DSP 经结肠粘膜的透过量。DSP 脂质体的表观渗透系数  $P_{app}$  为  $31.95 \text{ cm}^2/\text{m}^2\text{s}$ ，而 DSP 溶液为  $88.61 \text{ cm}^2/\text{m}^2\text{s}$ ，具有显著差异。结论 在 120 min 和 300 min 时，DSP 脂质体在结肠粘膜中的分布量均明显高于 DSP 溶液。结论 DSP 脂质体在治疗局部结肠炎时可能具有更小的毒性，更高的疗效，值得进一步开发研究。

**关键词** 地塞米松磷酸钠脂质体；体外 Ussing chamber；结肠

中图分类号 R944.1; R977.6 文献标识码 A 文章编号 1000-2588(2004)01-0011-04

## Ussing chamber technique for studying the permeability of dexamethasone sodium phosphate liposome through rabbit colon mucosa In vitro

LI Guo-feng, CHEN Jian-hai, YANG Jing, GUO Dan, REN Fei, WANG Chun-xia, HOU Lian-bin

Department of Pharmaceutics, Nanfang Hospital, First Military Medical University, Guangzhou 510515, China

**Abstract:** Objective To investigate the features of liposome-mediated drug permeability through the colon mucosa in vitro. Methods Dexamethasone sodium phosphate liposome (DSP) was prepared using orthogonal design. With in vitro Ussing chamber experiment, the accumulated amount of DSP permeated through rabbit colon mucosa into the receptor chamber and the distribution amount in the colon were determined at different time points during the experiment. Results Compared with the prepared DSP solution, DSP liposome decreased the permeated amount of DSP through rabbit colon mucosa. The apparent permeability coefficient ( $P_{app}$ ,  $\text{cm}^2/\text{m}^2\text{s}$ ) of the DSP was  $31.95 \pm 0.65$ , significantly lower than that of DSP solution ( $88.61 \pm 18.61$ ). On the other hand, the distribution amount of DSP liposome in the colon mucosa was significantly higher than that of the DSP solution both at 120 and 300 min. Conclusion DSP liposome dosage form may induce less toxicity with better therapeutic effect in the treatment of colitis, which is worthy of further exploitation.

**Key words:** dexamethasone sodium phosphate; liposome; in vitro Ussing chamber; colon

近年来，药脂质体用于局部病变的治疗引起了研究者越来越多的兴趣。<sup>1-5</sup>一些脂质体直接用于皮肤、口腔、眼部及直肠等部位的粘膜时，具有增加药物在局部粘膜组织中浓度降低或延缓药物吸收入血速度的能力。<sup>6-8</sup>地塞米松磷酸钠脂质体是常用的抗炎症药物，在临上常用其溶液剂经灌肠等方法来治疗各种结肠炎症。为此，本研究试图通过制备 DSP 脂质体，并经体外 Ussing chamber 实验，初步分析 DSP 脂质体与 DSP 溶液剂经结肠粘膜渗透的差异，为临床合理用药提供理论依据，为进一步开发毒性低、疗效高的结肠炎治疗药物制剂打下基础。

## 1 材料与动物

收稿日期 2003-08-12

基金项目 院广东省自然科学基金 (020056)、广东省医学科研基金 (A2002371)

Supported by Natural Science Foundation (020056) and Medical Research Foundation of Guangdong Province (A2002371)

作者简介 李国锋 (1964-)，男，2000 年至 2001 年赴日本京都药科大学学习，博士，主任药师，电话 020-61641888-87236，E-mail: lgfnf@fmmu.com

### 1.1 仪器

Waters 高效液相仪 (美国 Waters)、Buch R-114 旋转薄膜蒸发仪 (瑞士 Buch)、K30 低温离心机 (美国 K30)、Zetasizer 粒度测定仪 (英国 Zetasizer)、EM-1200EX 透射电子显微镜 (日本 EM-1200EX)、KW-80A 旋锅混合器 (上海医科大学仪器厂)、Q3200 超声波仪 (昆山市超声仪器有限公司)、Mitti-Q 去离子水制备仪 (美国 Millipore)、7 ml Ussing chamber 装置 (日本山本制作所赠送)。

### 1.2 药物与试剂

DSP 对照品 (Sigma 公司)、DSP 原料 (天津天药药业股份有限公司)、卵磷脂 (英国进口分装)、胆固醇 (英国进口分装)、戊巴比妥钠 (上海化学试剂公司进口分装)、乙醇为色谱纯，其余试剂为国产分析纯。

### 1.3 实验动物

新西兰大白兔，雄性，不拘，体重 2.2~2.4 kg，由第一军医大学实验动物中心提供。

## 2 方法与结果

### 2.1 DSP 脂质体的制备

2.1.1 处方的优选 用正交试验来筛选脂质体的配方，以药物包裹率作为主要评价指标，通过预实验，分

析确定了影响脂质体包封率的 3 个主要因素为药物浓度、卵磷脂浓度及卵磷脂 / 胆固醇的比例。故拟定用 L9 潘表安排试验，实验重复 1 次。经 SPSS 统计软件分析综合考虑载药量等因素，得到脂质体的最佳配方为 DSP 6 mg/ml、卵磷脂 24 mg/ml、卵磷脂 / 胆固醇 = 4:1。

**2.1.2 脂质体的制备** 用二次乳化法制备 DSP 脂质体。每份 10 ml 具体如下：取处方量的胆固醇和卵磷脂，用 10 ml 二氯甲烷溶解后，加入 4 ml 含处方量 DSP 的磷酸缓冲液 (pH=7)，超声作用 30 min，待充分乳化后，减压蒸发至温度 40℃，转速 80 r/min，至圆底烧瓶内乳化液变成凝胶状粘稠液体时，再加入 6 ml 磷酸缓冲液 (pH=7)，继续减压蒸发至完全除去二氯甲烷，即得的混悬液再超声 10 min，即得 DSP 脂质体。

**2.2 高效液相色谱法测定 DSP 浓度方法的建立**

**2.2.1 高效液相色谱条件** 层析柱为 Nucleosil 100-5 C18 柱，流速 1 ml/min，检测波长 240 nm，测得 DSP 的线性范围为 0.78~100 μg/ml，相关系数 R<sub>2</sub>=0.9999。

**2.2.2 DSP 脂质体浓度的测定** 精取 1 ml DSP 脂质体混悬液，用异丙醇 - 蒸馏水溶解并定容至 100 ml，用 HPLC 测定 DSP 浓度。色谱图如图 1 所示。空白脂质体对测定无干扰。研究建立的 HPLC 法用于测定 chamber 实验中 DSP 浓度时，同样无干扰。采用随行外标法测定日内及日间变异 RSD<5%，加样回收率 99.5%，样品含量为标示量的 95%~105%。

### 2.3 脂质体的质量评价

**2.3.1 脂质体的包封率和载药量测定** 精取脂质体 1 ml，于已称质量的 1.5 ml 离心管中，高速低温离心，5 000 r/min，0 min 分取上清液，用异丙醇 - 蒸馏水溶解并定容至 50 ml，用 HPLC 测定 DSP 浓度，并计算游离质量 W<sub>f</sub>。含脂质体沉淀的离心管再次称质量，得到沉淀脂质体的质量 W<sub>s</sub>。指脂质体沉淀用异丙醇 - 蒸馏水溶解并定容至 50 ml，用 HPLC 测定 DSP 浓度，并计算包裹的质量 W<sub>p</sub>。分别按下列公式计算包裹率和载药量。

$$\text{包裹率} = \frac{W_p}{W_f + W_s} \times 100\%$$

$$\text{载药量} = \frac{W_p}{W_s} \times 100\%$$

本研究中测得优选处方 DSP 脂质体的平均包裹率为 54.82%，载药量为 8.67%。

**2.3.2 脂质体的粒径观察** 取 DSP 脂质体 200 μg，加入 3 ml 去离子水，充分混合均匀后，用马尔文粒径测定仪测定粒径大小。结果粒径分布在 100~170 nm 之间，平均粒径为 145 nm。粒径分布图如图 2 所示。

**2.3.3 脂质体的电镜观察** 将 DSP 脂质体混悬液置

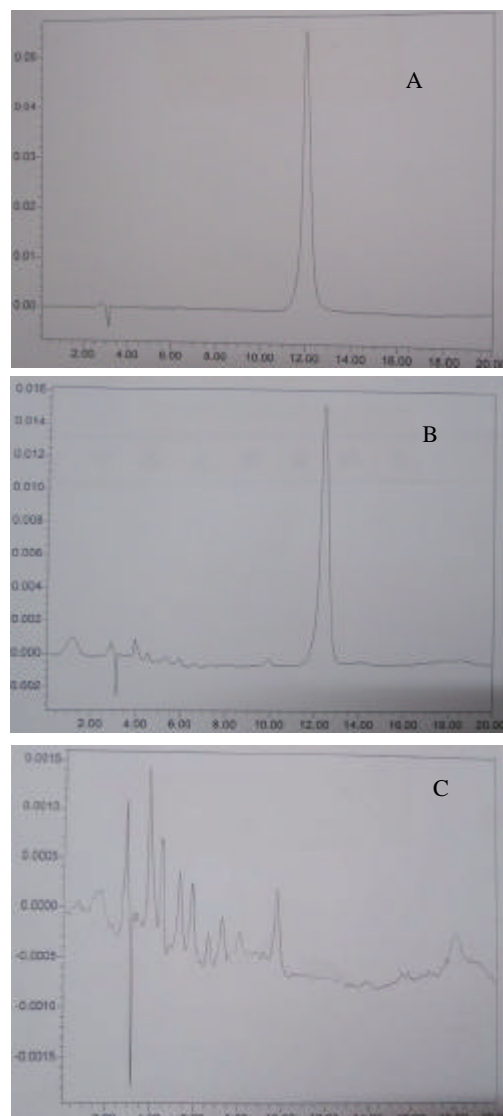


图 1 地塞米松磷酸钠的高效液相图谱

Fig.1 High-performance liquid chromatography of 5-aminosalicylic acid

A: Dexamethasone sodium phosphate (DSP); B: DSP liposome;  
C: Blank liposome

于带 Formvar 膜的铜网上，以滤纸吸收边缘液体，干燥后用 2% 的磷钨酸负染色，置于电镜下观察。拍照结果如图 3 所示。

**2.3.4 脂质体的稳定性** DSP 脂质体于冰箱中放置 3~7 d，脂质体的粒径大小、包裹率等无明显的改变。对本研究实验的完成没有明显影响。

### 2.4 体外 Ussing chamber 实验

**2.4.1 透过实验用介质的配制** 按文献咱暂方法配制各成分及浓度分别为：1.2 mmol/L NaH<sub>2</sub>PO<sub>4</sub>，25 mmol/L NaCl，4 mmol/L KCl，4 mmol/L CaCl<sub>2</sub>，0 mmol/L NaHCO<sub>3</sub>，9 mmol/L 谷氨酸钠，4 mmol/L 富马酸二钠，9 mmol/L 丙酮酸钠，和 2 mg/ml 的葡萄糖。于配好的介质中不断通入 95% O<sub>2</sub>+5% CO<sub>2</sub> 的混合气体，调整 pH 至 7.4，备用。

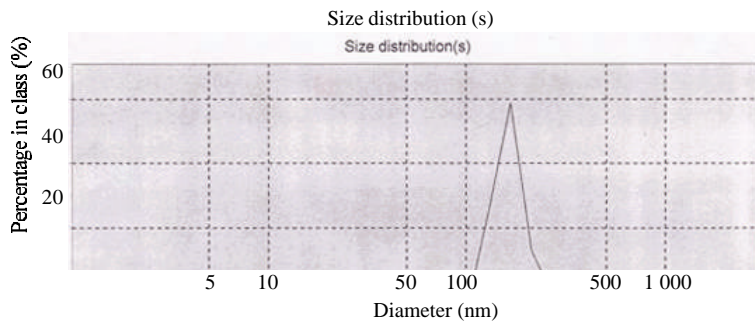


图2 地塞米松磷酸钠脂质体的粒径分布

Fig.2 Size distribution of dexamethasone sodium phosphate liposome

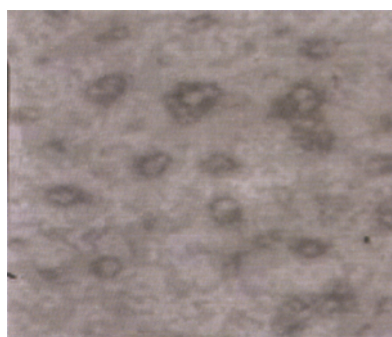


图3 地塞米松磷酸钠脂质体的电镜观察

Fig.3 Sodium phosphate liposome under electron microscope

**2.4.2 结肠粘膜渗透实验** 新西兰大白兔用戊巴比妥钠 $0\text{ mg/kg}$  i.p.麻醉后剪腹部去毛，行腹部正中线剖腹取出结肠部位，盲肠下 $0.2\text{ cm}$ 开始共 $10\text{ cm}$ 用2.4.1所述的介质冲洗干净结肠内容物，截取长约 $1.5\text{ cm}$ 的结肠6段，分别沿相同的肠系膜边缘剪开，分离除去浆膜侧的肌层，将分离好的结肠粘膜固定于Ussing chamber装置中，刻于装置的粘膜侧和浆膜侧分别加入 $6\text{ ml}$ 介质溶液，整个装置置于 $37.5^\circ\text{C}$ 恒温环境中，不断于两侧的介质中通入 $95\%\text{ O}_2+5\%\text{ CO}_2$ 的混合气体至实验结束，有效渗透面积为 $0.785\text{ cm}^2$ ，分别于粘膜侧和浆膜侧加入已预热至 $37.5^\circ\text{C}$ 的DSP脂质体 $1\text{ ml}$ ，含DSP $6\text{ mg}$ ，介质液 $1\text{ ml}$ 作为对照，粘膜侧加入 $1\text{ ml}$  DSP溶液，含DSP $6\text{ mg}$ ，分别于给药后 $20\text{ min}$ 、 $80\text{ min}$ 、 $20\text{ min}$ 、 $80\text{ min}$ 和 $300\text{ min}$ 从浆膜侧取样 $0.5\text{ ml}$ 并立即补充已预热至 $37.5^\circ\text{C}$ 的新鲜介质 $0.5\text{ ml}$ ，为了观察粘膜侧中药物的残留量，实验中于 $120\text{ min}$ 和 $300\text{ min}$ 分别从粘膜侧取样 $100\text{ }\mu\text{l}$ ，各取样后的样品于冰箱中保存直到进行HPLC分析。

**2.4.3 累积渗透量及表观渗透系数的测定** 用HPLC法测得给定时间浆膜侧药物浓度为 $C_{tn}$ ，用下列公式计算累积透过量 $Q_{tn}$ ：

$$Q_{tn} = \sum_{i=0}^n 0.5 C_{ti} - 1] + 7 C_{tn}$$

其中 $0.5$ 和 $7$ 表示取样体积和浆膜侧的体积，分别为 $0.5\text{ ml}$ 和 $7\text{ ml}$ ，根据给药剂量 $D$ ，计算累积透过百分率 $\frac{Q_{tn}}{D}$ ， $i=100\%$ ，并绘制经时累积透过百分率曲线图。图4可见DSP脂质体能延缓和减少DSP经结肠粘膜的渗透，另一方面，表观渗透系数 $P_{app}$ 是表示药物经粘膜透过能力的重要指标，其计算公式为 $P_{app} = \frac{dQ}{dt}/AC_0$ ，其中 $dQ/dt$ 表示稳态时时间-透过累积量线性回归所得的斜率， $A$ 为有效透过面积， $C_0$ 为粘膜侧初始药物浓度，本研究测得DSP脂质体和DSP溶液的 $P_{app}$ 分别为 $1.95\text{ }\mu\text{m/s}$ 和 $7.65\text{ }\mu\text{m/s}$ ，两组间 $P=0.00134$ ，相差非常显著，表明DSP溶液较DSP脂质体更易透过结肠粘膜。

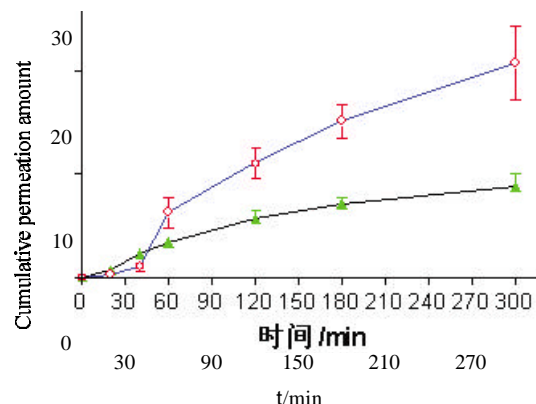


图4 地塞米松磷酸钠体外 Ussing chamber 实验透过图 (n=4)

Fig.4 In vitro Ussing chamber permeation profiles (n=4) of  
DSP  
菌 DSP solution; 银DSP liposome

**2.4.4 DSP 在粘膜中的分布量** 根据给药剂量 $D$ ，在给定时间测定的粘膜侧的残留DSP量 $C_{tn}$ ，和浆膜侧的累积透过量 $Q_{tn}$ ，计算DSP在粘膜中的分布量 $R$ ，结果 $20\text{ min}$ 时脂质体和溶液在结肠粘膜中的分布百分率 $\frac{C_{tn}}{D}$ ，分别为 $2.01\text{ }\mu\text{g/g}$ 和 $0.71\text{ }\mu\text{g/g}$ ， $0.71\text{ }\mu\text{g/g}$ ，两组比较 $P=0.0226$ ，相差显著，表明相同剂量下 $20\text{ min}$ 时脂质体有更多的DSP滞留在粘膜中。 $300\text{ min}$ 时 $\frac{C_{tn}}{D}$ ，分别为 $3.34\text{ }\mu\text{g/g}$ 和 $1.71\text{ }\mu\text{g/g}$ ， $0.408$ ，同样具有显著差异。

### 3 讨论

体外 Ussing chamber 实验在评价药物经消化道粘膜渗透的研究中已有一定的应用，但尚未见我

国学者的开发利用遥该技术具有模拟胃肠道的生理环境遥操作简单遥容易掌握等特点遥管同实际的动物实验结果可能会有一定的差距遥但在初期快速地筛选药物制剂的配方遥了解药物在消化道各区段吸收的规律性等方面具有明显优势遥由于迄今为止大多数药物均经口服给药遥 Ussing chamber 实验会有越来越广泛的应用遥

脂质体的制备方法很多袁由于 DSP 是水溶性的药物遥本研究初步探讨用二次乳化法来制备其脂质体遥结果表明采用这种方法遥使脂质体中 DSP 的包裹率达到 50%以上遥在进行 DSP 脂质体含量测定时袁发现通过选择合适比例的异丙醇和水作为混合溶剂袁较好地解决了脂质体中药物的溶出和脂质体的溶解问题遥

尽管不少学者对脂质体经皮肤遥口腔遥直肠等吸收的规律作了较多的研究袁但探索载药脂质体经结肠粘膜吸收规律的研究尚未见国内外文献报道遥一般来说袁药脂质体口服后袁经上消化道时大多数药物已从脂质体中释放或吸收入血袁这可能是导致研究者忽视载药脂质体经结肠吸收研究的主要原因之一遥不过袁结肠定位给药技术给载药脂质体在结肠部位的释放和发挥其特色治疗作用带来了希望遥例如袁作者已探索了受结肠菌群酶作用的材料遥壳聚糖的一些特点遥表明用外涂邻苯二甲酸羟丙基甲基纤维素的壳聚糖作为保护层袁使装载的药物在结肠释放遥因此袁将载药脂质体冷冻干燥后装入这种胶囊袁有望达到预期的目标遥

用 DSP 来治疗结肠炎时袁一般常规口服时药物大多数从胃及小肠部位就已被吸收入血袁再分布到结肠部位的药量很少袁加大口服剂量可能是解决办法之一遥但由于入血的浓度增加袁由此会引起全身严重的毒副作用袁患者难以长期服用遥通过地塞米松前体药物等的制备袁有望将地塞米松导向结肠定位释药遥为此袁国内不少学者也进行了研究<sup>12~14</sup>遥但是袁接着的另一个问题在以往的研究中很少涉及袁一旦药物在结肠部位定位释药后袁其下一步的去向及变化如何遥本研究利用体外 Ussing chamber 实验法袁对此进行了探索遥结果提示袁DSP 脂质体在结肠局部直接给药时袁和一般的溶液剂等比较袁有望达到提高 DSP 治疗效果袁减少全身毒副作用的目的袁而利于患者长期用药遥

## 参考文献院

- 咱暂 后桂荣, 曾 抗, 周再高, 等. 两种鬼臼毒素脂质体的制备及其比较分析咱暂第一军医大学学报, 2003, 23(3): 216-8.  
 Hou GR, Zeng K, Zhou ZG, et al. Preparation and comparative analysis of two podophyllotoxin liposomes咱暂 J First Mil Med Univ/Di Yi Jun Yi Da Xue Xue Bao, 2003, 23(3): 216-8.
- 咱暂 颜玉胜, 曾 抗, 李国锋, 等. 脂质体影响荧光素钠透皮和皮肤贮留

量的实验研究咱暂第一军医大学学报, 2003, 23(2): 110-3.

Xie YS, Zeng K, Li GF, et al. Effect of liposome on permeability and drug retention of sodium fluorescein in rat skin: an experimental study咱暂 J First Mil Med Univ/Di Yi Jun Yi Da Xue Xue Bao, 2003, 23(2): 110-3.

咱暂江彬彬, 曾 抗, 张三泉, 等. 鬼臼毒素二棕榈酸磷脂酰胆碱脂质体局部外用的实验研究咱暂第一军医大学学报, 2002, 22(10): 875-7.

Jiang BB, Zeng K, Zhang SQ, et al. Experimental study of podophyllotoxin dipalmitoylphosphatidylcholine liposome for topical skin application咱暂 J First Mil Med Univ/Di Yi Jun Yi Da Xue Xue Bao, 2002, 22(10): 875-7.

咱暂张三泉, 曾 抗, 江彬彬, 等. 大鼠外用脂质体鬼臼毒素后血液中鬼臼毒素浓度观察咱暂第一军医大学学报, 2002, 22(9): 782-3.

Zhang SQ, Zeng K, Jiang BB, et al. Changes in serum concentration of podophyllotoxin after its topical application with liposome on rat skin咱暂 J First Mil Med Univ/Di Yi Jun Yi Da Xue Xue Bao, 2002, 22(9): 782-3.

咱暂胡俊, 章廉, 冯筱榕, 等. 一种新型脂质体的制作方法咱暂第一军医大学学报, 2001, 21(2): 138-9.

Hu J, Zhang L, Feng XR, et al. A method for producing a new type of liposome 咱暂 J First Mil Med Univ/Di Yi Jun Yi Da Xue Xue Bao, 2001, 21(2): 138-9.

咱暂 Rogy MA, Beinhauer BG, Reinisch W, et al. Transfer of interleukin-4 and interleukin-10 in patients with severe inflammatory bowel disease of the rectum 咨暂 Hum Gene Ther, 2000, 11 (2): 1731-41.

咱暂 Suntres ZE, shek PN. Prophylaxis against lipopoly saccharide-induced lung injuries by liposome-entrapped dexamethasone in rats 咨暂 Biochem Pharmacol, 2000, 59(90): 1155-61.

咱暂曾抗, 李国锋, 许重远, 等. 脂质体鬼臼毒素治疗尖锐湿疣的双盲随机对照试验咱暂第一军医大学学报(J First Mil Med Univ/Di Yi Jun Yi Da Xue Xue Bao), 1998, 18(3): 246.

咱暂 Yata T, Endo Y, Sne M, et al. Amino Acids protest epithelial cells from local toxicity by absorption enhancer, sodium Laurate 咨暂 J Pharm Sci, 2001, 90(10): 1456-65.

咱暂 Yamamoto A, Tatsumi H, Maruyama M, et al. Modulation of intestinal permeability by nitric oxide donors: implications in intestinal delivery of poorly absorbable drugs咱暂 J Pharmacol Exp Therap, 2001, 296(1): 84-90.

咱暂李国锋, 陈建海, 郭丹, 等. 重组人粒细胞集落刺激因子壳聚糖胶囊的制备和体外释药特性咱暂中国医院药学杂志(Chin J Hosp Pharm), 2003, 23(1): 1-4.

咱暂庞怡诺, 张志荣, 庞其捷, 等. 酶依赖结肠靶向地塞米松遥葡萄糖酯及其片剂的研究咱暂药学学报(Acta Pharmaceutica Sinica), 2001, 36(8): 625-30.

咱暂周四元, 梅其柄, 周瑾, 等. 糖皮质激素前体药物在大鼠胃肠道中定位转释的药代动力学咱暂药学学报(Acta Pharmaceutica Sinica), 2001, 36(5): 325-8.

咱暂李国锋, 陈建海, 刘立捷, 等. 结肠菌群触发型 5-氨基水杨酸壳聚糖胶囊大鼠体内的吸收与分布研究 咨暂 第一军医大学学报, 2003, 23(5): 431-4.

Li GF, Chen JH, Liu LJ, et al. Absorption and distribution of 5-aminosalicylic acid from its chitosan capsule degraded by colon bacteria-released enzymes in rats 咨暂 J First Mil Med Univ/Di Yi Jun Yi Da Xue Xue Bao, 2003, 23(5): 431-4.